

**ВЛИЯНИЕ ПОТОКОВ НЕЙТРОНОВ ИЗ ГРУНТА
НА УСЛОВИЯ ПОСТАНОВКИ ЭКСПЕРИМЕНТОВ
ПО РЕГИСТРАЦИИ СОЛНЕЧНЫХ НЕЙТРИНО
ЭЛЕКТРОННЫМИ ДЕТЕКТОРАМИ**

А. В. Елпидинский

В предыдущих работах^{1,2} были произведены подробные оценки абсолютной величины фона, создаваемого в детекторах солнечных нейтрино потоком нейтронов, образующихся в грунте. В настоящем сообщении для двух детекторов дифференциального типа анализируются требования и ограничения, накладываемые этим фоном на условия проведения экспериментов по регистрации солнечных нейтрино. К числу каналов, образующих фон, относились все прямые и многоступенчатые реакции, генерируемые нейронами и сопровождающиеся вторичными электронами с суммарной энергией ≥ 3 мэв. При этом нами совершенно не рассматривались случайные временные и пространственные совпадения в генерации электронов с $E_e < 3$ мэв. Последнее будет возможно только после окончательной выработки схем регистрации. Для удобства анализа и сравнения детекторов между собой абсолютная величина фона относилась к величине эффекта, ожидаемого*) при регистрации солнечных нейтрино⁴. Требования к защите и степени чистоты материалов находились, исходя из условия допустимости при эксперименте отношения (фон/эффект) $\leq 0,1$. Для определения зависимости величины фона от энергии облучающих нейтронов были произведены оценки выхода для потоков $\Phi_n(E_n) = 1 \text{ н/см}^2\cdot\text{час}$

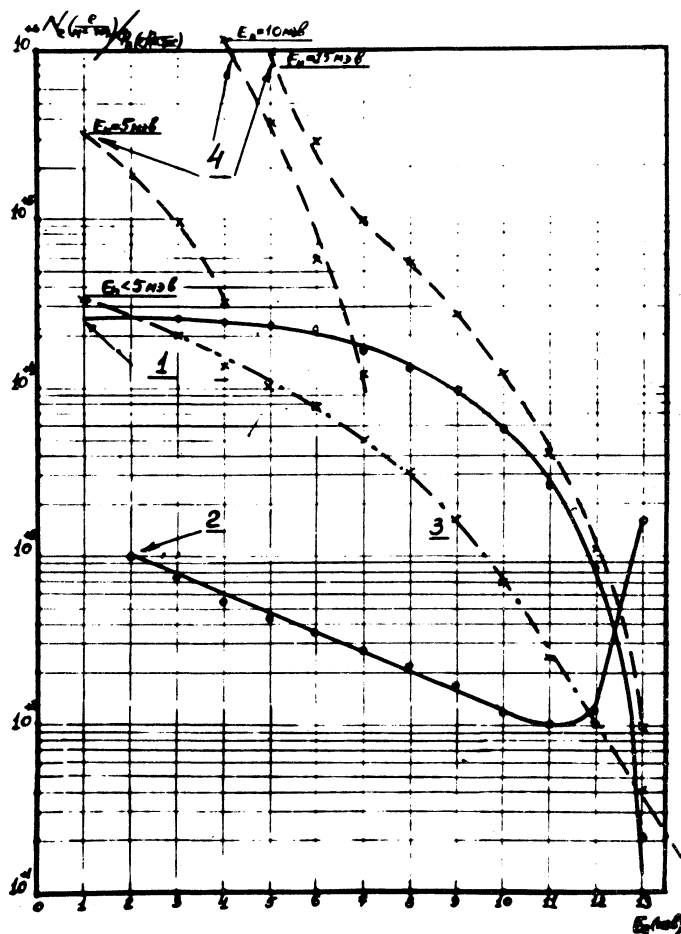
*) при $\Phi_n(B) = 1 \cdot 10^6 \text{ см}^{-2} \text{ сек}^{-1}$

моноэнергетических нейtronов (в диапазоне $E_{\text{тепл}} \leq E_n \leq 15$ мэв).

Литиевый ионизационный детектор был рассмотрен в двух вариантах: в виде чистого лития без учета возможных химических примесей и необходимых защитных и конструктивных материалов (идеализированный вариант) и из металлического лития с защитным покрытием и конструкциями из плексигласа $C_5H_8O_2$ (реальный вариант).

В диапазоне энергий, к которому принадлежит подавляющая доля нейtronов ($E_n < 5$ мэв), каналами, определяющими уровень фона для обоих вариантов, являются прямые реакции фотопоглощения медленных и тепловых нейtronов. При этом единственное различие, связанное с применением плексигласа, выражается в том, что для реального варианта интенсивность электронов в области малых энергий ($E_e < 3$ мэв) на 30% больше, чем для идеализированного варианта детектора. Пренебрегая этим, интегральный спектр электронов фона для обоих случаев представлен единой кривой 3 на рис. 1.

В диапазоне энергий $E_n > 4$ мэв появляются каналы образования фона, абсолютный выход и форма интегрального спектра которых зависит от энергии первичных нейtronов. Для идеализированного варианта их абсолютный выход не превосходит 1% от ранее рассмотренной основной части фона. Для реального детектора образованный этими каналами интегральный спектр фоновых электронов представлен пунктирными кривыми 4, соответственно для трех моноэнергетических групп нейtronов с $E_n = 5, 10$ и 15 мэв. Однако доля нейtronов подобных энергий в суммарном потоке как из грунта, так и из защиты $\leq 10^{-3}$. Поэтому и для реального детектора вкладом этих каналов можно пренебречь. Таким образом, как для идеализированного, так и для реального детектора подавляющая по интенсивности часть фона не зависит от формы спектра облучающих детектор нейtronов. Это определяет требование к за-



Р и с. 1. Интегральные спектры электронов в детекторе из лития и плексигласа. 1 - ожидаемый эффект от солнечных нейтрино ($\times 10^5$); 2 - $\frac{\text{фон} (E_n < 5 \text{ мэв})}{\text{эффект}} \times 10^{-2}$; 3 - фон при $E_n < 5 \text{ мэв}$; 4 - фон при $E_n = 5; 10 \text{ и } 15 \text{ мэв}$;

щите - замедление быстрых и поглощение медленных нейтронов, уменьшающее суммарный поток в $5 \cdot 10^5 + + 10^5$ раз (в зависимости от порога запирания - см. кривую 2 на том же рисунке). От материала защиты требуется пониженное содержание естественных радиоактивных примесей ($\leq 10^{-11}$ г U/г и $\leq 10^{-17}$ г Ra/г).

Анализ вкладов каналов образования фона в реальных детекторах приводит к простому аналитическому выражению для оценки допустимых весовых содержаний химических примесей в материале детектора, как потенциальных источников фона

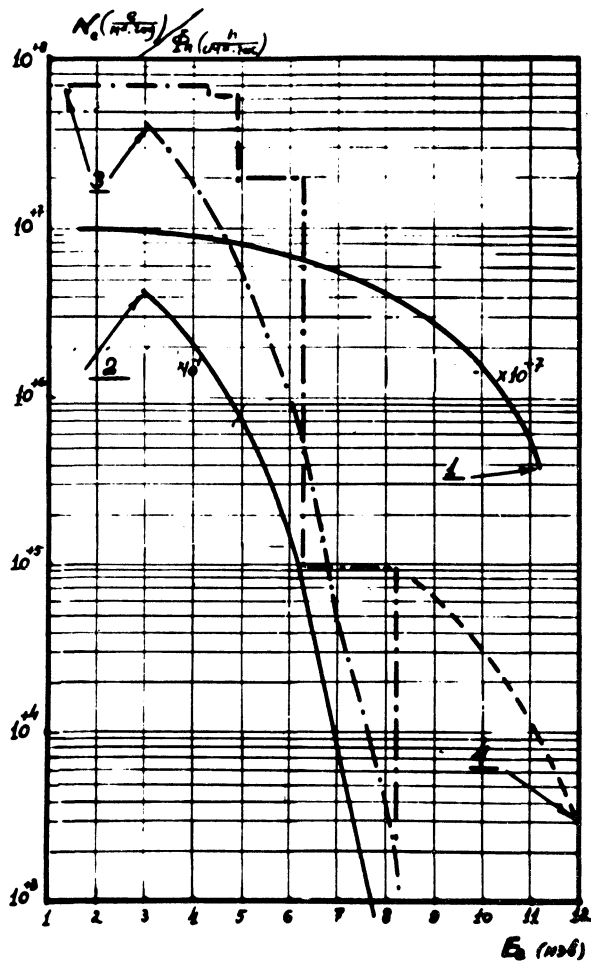
$$\epsilon \leq 2 \cdot 10^{-6} Lk$$

где L - размеры детектора в метрах, k - кратность ослабления нейтронного потока защитой.

Допустимое содержание в материале детектора делящихся элементов определяется спонтанным делением (вынужденное в 10^4 раз менее интенсивно) на уровне $\leq 10^{-11}$ г U/г и $\leq 10^{-9}$ г Th/г.

Следовательно, применение в качестве конструктивного материала водородосодержащих соединений не увеличивает требований и к степени химической и радиологической чистоты применяемых материалов.

Жидкий сцинтиллятор с растворителем типа уайт-спирит³, на 100% обогащенный дейтерием. В этом случае все каналы образования фона также можно разделить на две группы. К первой относятся прямые реакции радиационного захвата медленных и тепловых нейтронов дейтерием и изотопами углерода. Выход этой группы каналов не зависит от энергии падающих нейтронов. Все прочие каналы, включая образованные протонами отдачи (в случае частично дейтерированного растворителя) дают добавку, не превышающую 0,01% от интенсивности основной группы. Интегральный спектр электронов этой основной части фона представлен штрих-пунктирными кривыми 3 на рис. 2. Ломанная гистограмма характерна для детектора в виде одного большого бака, а гладкая кривая - для набора маленьких



Р и с. 2. Интегральные спектры электронов в сцинтилляционном детекторе с растворителем $(D_2C)_n$

1 - ожидаемый эффект от солнечных нейтрино ($\times 10^7$);
 2 - $\frac{\text{фон} (E_n < 14 \text{ мэв})}{\text{эффект}} \times 10^{-1}$; 3 - фон ($E_n < 14 \text{ мэв}$);
 4 - фон ($E_n \sim 15 \text{ мэв}$)

($L \leq 1\text{м}$). Реальный случай заключен между этими крайностями. Вторую группу фоновых каналов, выход которых зависит от энергии облучающих нейтронов, объединяет также то, что все они приводят к наведению бета-активности и характеризуются высокими энергетическими порогами. Если всему потоку из грунта приписать максимальную возможную в земных условиях энергию нейтронов ($E_n \approx 15$ мэв), то выход этих каналов описывается пунктирной кривой 4 на рис. 2. Однако в реальном спектре доля нейтронов с такой энергией из грунта меньше 10^{-4} . Поэтому можно считать, что при выборе защиты достаточно предъявлять требования к кратности ослабления суммарного потока нейтронов в зависимости от установленного порога запирания. Однако при этом очень высоки требования к кратности ослабления: при $E_e^{\text{пор}} \approx 3$ мэв - 10^9 , а при $E_e^{\text{пор}} \approx 8$ мэв - 10^5 . Удобнее работать при запираниях $E_e^{\text{пор}} > 8$ мэв, когда фон образуется второй группой каналов. При этом ожидаемый нейтринный эффект падает всего в 2 + 3 раза (см. кривую 1), и достаточно защита, ослабляющая внешний поток в 10^2 раз. Кроме того при запирании $E_e^{\text{пор}} \gtrsim 3$ мэв необходимо, чтобы в защите содержалось $\lesssim 10^{-14}$ г U/g и $\sim 10^{-20}$ г Ra/g, в то время как при $E_e^{\text{пор}} > 8$ мэв достаточно, чтобы в защите содержалось $\lesssim 10^{-8}$ г U/g и $\lesssim 10^{-14}$ г Ra/g.

В случае применения частично дейтерированного растворителя электронный фон изменяется по сравнению с рассмотренным за счет нескольких факторов, и кроме того уменьшается нейтринный эффект. Все эти зависимости описываются единой формулой

$$\eta = \frac{1}{(1 - 10^{-2} \alpha)(1 + 1,5 \alpha)};$$

где η - отношение параметра (фон/эффект) для смеси D_2C и H_2C к значению его в случае чистого растворителя D_2C ; α - содержание легкой фракции в вес.

% от дейтериевой. При разбавлении полностью дейтерированного соединения отношение (фон/эффект) уменьшается, достигая при $\alpha = 10\%$ значения 0,07, а при $\alpha = 50\%$ – значения 0,03. Получена приближенная оценка допустимых концентраций химических примесей $\lesssim 10^{-8}$ г/г. Ограничения на содержание в материале детектора делящихся элементов величинами $\lesssim 10^{-12}$ г U/г и $\lesssim 10^{-10}$ г Th/г определяются спонтанным делением. Вынужденное деление на два порядка менее интенсивно.

Сравнение чувствительности обоих детекторов к облучению нейтронами из грунта приводит к окончательному выводу, что сцинтилляционный детектор с дейтерированным органическим соединением в качестве рабочего материала и растворителя более удобен. Он позволяет ценой уменьшения в 2 + 3 раза ожидаемого эффекта снизить на несколько порядков требования к защите и к степени чистоты применяемых материалов.

Автор искренне благодарит Г. Т. Зацепина, проявившего настойчивый интерес к работе.

Поступила в редакцию
22 июня 1970 г.

ЛИТЕРАТУРА

1. А. В. Елпидинский. Препринт ФИАН № 134, 1969 г.
2. А. В. Елпидинский. Препринт ФИАН № 8, 1968 г.
3. В. Л. Дадыкин, А. В. Воеводский, О. Г. Ряжская. ПТЭ, № 1,85 (1970).
4. Г. Т. Зацепин, В. А. Кузьмин. Труды Международного семинара по физике нейтрино, часть II, стр. 156, М. 1969 г.